

## Условия существования предельных циклов у динамической системы движения связанных объектов на эллиптической орбите

Купреев С.А.

*Московский авиационный институт (национальный исследовательский университет), МАИ, Волоколамское шоссе, 4, Москва, А-80, ГСП-3, 125993, Россия*

*e-mail: [kupreevsa@mai.ru](mailto:kupreevsa@mai.ru)*

### Аннотация

Рассматривается динамическая система управляемого движения связанных объектов в плоскости эллиптической орбиты без учета возмущающих факторов. На основе математического аппарата качественной теории динамических систем определены состояния равновесия, сформулированы и доказаны условия существования предельных циклов. Определены бифуркационные значения параметра управления, связанные с появлением и исчезновением предельных циклов у рассматриваемой динамической системы.

Изучение состояний равновесия и условий существования предельных циклов динамической системы позволило установить количество всех типов качественных структур фазовых траекторий управляемого движения связанных объектов.

Установлен диапазон значений относительной угловой скорости предельного континуума, охватывающего фазовый цилиндр.

**Ключевые слова:** орбитальная тросовая система, состояния равновесия, предельные циклы, управляемое движение связки на эллиптической орбите.

## Введение

Орбитальные тросовые системы (ТС) представляют собой отдельно сформировавшееся направление перспективных технологий. Научно-исследовательские работы должны сочетаться с опытно-конструкторскими и предоставлять научно-обоснованные данные (результаты теоретических проработок вопросов динамики полета, законов управления развертыванием-свертыванием, проектно-поисковых исследований элементов ТС) для разработки программ полета и спецагрегатов, способных полностью выполнить целевую задачу [1].

Решение задач динамики функционирования ТС на эллиптических орбитах оказывается более сложным, чем для круговых и требует специального теоретического обоснования. Проведенные научные проработки вопросов динамики относительного движения связанных объектов [2-8] показали эффективность применения математического аппарата качественной теории динамических систем и теории бифуркаций [9-11]. Результаты полных качественных исследований дают возможность составить полное представление о возможных типах фазовых траекторий системы, а, следовательно, о характеристике возможных траекторий управляемого движения ТС при любых значениях параметров управления, при любых начальных условиях движения и на любом отрезке времени.

При проведении качественных исследований динамических систем управляемого движения ТС наиболее сложным оказывается определение бифуркаций, связанных с появлением и исчезновением предельных циклов, охватывающих фазовый цилиндр. В связи с этим в данной работе сформулированы и доказаны две теоремы.

## 1 Математическая модель управляемого движения связанных объектов

Математическая модель компланарного управляемого движения ТС в безразмерных переменных может быть записана в виде [3-6]:

$$\begin{aligned} \frac{d\Omega_{\text{оп}}}{d\vartheta} &= \frac{1+e\cos\vartheta}{(1-e^2)^{3/2}} \left( 2e\sin\vartheta + \frac{3}{2}\sin 2\varepsilon \right) - 2k \left[ 1 + \frac{(1-e^2)^{3/2}}{(1+e\cos\vartheta)^2} \Omega_{\text{оп}} \right]; \\ \frac{d\varepsilon}{d\vartheta} &= \frac{(1-e^2)^{3/2}}{(1+e\cos\vartheta)^2} \Omega_{\text{оп}}. \end{aligned} \quad (1)$$

где  $\vartheta$  – угол истинной аномалии, определяющий текущее положение центра масс ТС на орбите;

$\varepsilon$  – угол между осью  $x$  орбитальной системы координат и вектором дальности  $\bar{D}$ ;

$\Omega_{\text{оп}} = \dot{\varepsilon}/n$  – безразмерная угловая скорость вращения вектора  $\bar{D}$  относительно орбитальной системы координат;

$k = \frac{\dot{D}}{nD}$  – параметр управления;

$D$  – удаление привязного объекта (ПО) от начала орбитальной системы координат  $Cxy$ ;

$n = \sqrt{\frac{\pi_0}{p}} \frac{(1-e^2)^{3/2}}{p}$  – средняя орбитальная угловая скорость центра масс ТС;

$e, p$  – соответственно эксцентриситет и фокальный параметр орбиты центра масс связки;  $\pi_0 = 3,986 \cdot 10^{14} \text{ м}^3/\text{с}^2$  – гравитационная постоянная Земли.

При изучении относительного движения связки вместо (1) можно рассматривать автономную динамическую систему сравнения

$$\frac{d\Omega_{\text{ор}}}{d\vartheta} = a + b \sin 2\varepsilon - 2k(1 + c\Omega_{\text{ор}}); \quad \frac{d\varepsilon}{d\vartheta} = c\Omega_{\text{ор}}; \quad (2)$$

$$\text{где } a = \frac{2e \sin \vartheta (1 + e \cos \vartheta)}{(1 - e^2)^{3/2}}; \quad b = \frac{3(1 + e \cos \vartheta)}{2(1 - e^2)^{3/2}}; \quad c = \frac{(1 - e^2)^{3/2}}{(1 + e \cos \vartheta)^2}.$$

Для всех эллиптических орбит при любых значениях угла  $\vartheta$  выполняются условия  $b > 0$  и  $c > 0$ . Для того чтобы получить представления о поведении исходной системы (1) при конкретном значении эксцентриситета, необходимо определить качественные структуры разбиения развертки фазового цилиндра  $\varepsilon, \Omega_{\text{ор}}$  системы сравнения (2) на траектории для бесконечного множества возможных значений истинной аномалии  $0 \leq \vartheta \leq 2\pi$ . Иными словами, требуется поставить в соответствие исходной системе бесконечное множество систем сравнения с фиксированными параметрами  $(a, b, c)$  и рассматривать движение исходной системы как непрерывный переход от одной системы сравнения к другой, сколь угодно близкой. Тогда движение изображающей точки по фазовой поверхности будет происходить с непрерывно изменяющимся видом разбиения на траектории.

Система сравнения (2) имеет конечное число качественных структур, смена которых происходит только при бифуркационных значениях параметров.

## 2 Состояния равновесия динамической системы

Приравнивая нулю правые части (2), получим выражения, определяющие положение состояний равновесия на фазовом цилиндре

$$a + b \sin 2\varepsilon^* - 2k = 0; \quad \Omega_{\text{ор}}^* = 0; \quad (3)$$

где  $\varepsilon^*$ ,  $\Omega_{\text{ор}}^*$  – координаты состояний равновесия системы.

Рассмотрение (3) показывает, что состояния равновесия системы (2) располагаются на оси  $\varepsilon$ , а координаты их на этой оси определяются выражением

$$\varepsilon^* = \frac{1}{2} \arcsin\left(\frac{2k - a}{b}\right). \quad (4)$$

Анализ (4) свидетельствует о том, что у системы (2) может быть не более четырех состояний равновесия. При отношении параметров  $-1 < (2k - a)/b < 1$  система имеет четыре состояния равновесия, при  $(2k - a)/b = \pm 1$  – два, а при  $|(2k - a)/b| > 1$  состояния равновесия отсутствуют.

Тип состояний равновесия зависит от значений характеристических корней особой точки. Для системы (2) характеристическое уравнение состояний равновесия

$$\lambda^2 + 2k\lambda - 2bc \cos 2\varepsilon^* = 0. \quad (5)$$

Характеристические корни состояния равновесия:

$$\lambda_{1,2} = -k \pm \sqrt{k^2 + 2bc \cos 2\varepsilon^*} \quad \text{или} \quad \lambda_{1,2} = -k \pm \sqrt{k^2 + \frac{3 \cos 2\varepsilon^*}{1 + e \cos \vartheta}}. \quad (6)$$

1. При  $k = k_1$ , где

$$k_1 = (a - b)/2, \quad (7)$$

система (2) имеет два состояния равновесия  $O_1$  и  $O_2$ , соответствующие значениям

$\varepsilon_1^* = 3\pi/4$  и  $\varepsilon_2^* = -\pi/4$ . Характеристические корни для  $O_1$  и  $O_2$  будут  $\lambda_1 = b - a$  и  $\lambda_2 = 0$ . Следовательно,  $O_1$  и  $O_2$  – сложные изолированные состояния равновесия.

2. При  $k_1 < k \leq k_{y\phi 1}$ , где  $k_{y\phi 1}$  есть решение уравнения

$$k_{y\phi 1}^2 - 2bc \sqrt{1 - ((2k_{y\phi 1} - a)/b)^2} = 0, \quad (8)$$

у (2) имеются четыре состояния равновесия: для  $O_1$  и  $O_2$ , соответствующих интервалу  $-\pi/2 < \varepsilon^* < \pi/2$ , характеристические корни действительны и имеют разные знаки, поэтому  $O_1$  и  $O_2$  – седловые точки. Для точек  $O_3$  и  $O_4$ , соответствующих интервалу  $\pi/2 < \varepsilon^* < 3\pi/2$ , корни при  $b > a$  ( $k_{y\phi 1} < 0$ ) действительны и положительны. Следовательно,  $O_3$  и  $O_4$  – неустойчивые узлы. При  $0 < k_1$  ( $b < a$ ) корни действительны и отрицательны, т.е.  $O_3$  и  $O_4$  – устойчивые узлы.

3. При  $k_{y\phi 1} < k < 0$  ( $b > a$ ) у (2) четыре состояния равновесия:  $O_1$  и  $O_2$  из интервала  $-\pi/2 < 2\varepsilon^* < \pi/2$  представляют собой седловые точки, состояния  $O_3$  и  $O_4$  из интервала  $\pi/2 < 2\varepsilon^* < 3\pi/2$  – неустойчивые фокусы. В случае  $b < a$  и  $0 < k < k_{y\phi 1}$  состояния  $O_3$  и  $O_4$  – устойчивые фокусы.

4. При  $k = 0$  (2) преобразуется в консервативную динамическую систему:

$$\frac{d\Omega_{\text{оп}}}{d\vartheta} = a + b \sin 2\varepsilon; \quad \frac{d\varepsilon}{d\vartheta} = c\Omega_{\text{оп}}. \quad (9)$$

Состояния равновесия системы (9) располагаются на оси  $\varepsilon$ , а координаты их на этой оси определяются выражением

$$\varepsilon^* = \frac{1}{2} \arcsin\left(-\frac{a}{b}\right). \quad (10)$$

Анализ (10) свидетельствует о том, что система (9) при отношении параметров  $-1 < a/b < 1$  имеет четыре состояния равновесия, при  $a/b = \pm 1$  – два, а при  $|a/b| > 1$  состояния равновесия отсутствуют.

5. При  $0 < k < k_{y\phi 4}$  ( $b > a$ ) у (2) четыре состояния равновесия:  $O_1$  и  $O_2$  из интервала  $-\pi/2 < 2\varepsilon^* < \pi/2$  представляют собой седловые точки, состояния  $O_3$  и  $O_4$  из интервала  $\pi/2 < 2\varepsilon^* < 3\pi/2$  – устойчивые фокусы. В случае  $b < a$  и  $k_{y\phi 4} < k < 0$  состояния  $O_3$  и  $O_4$  – неустойчивые фокусы. Значения  $k_{y\phi 4}$  определяются при решении уравнения

$$k_{y\phi 4}^2 - 2bc \sqrt{1 - ((2k_{y\phi 4} - a)/b)^2} = 0 \quad (11)$$

6. При  $k_{y\phi 4} \leq k < k_4$ , где

$$k_4 = (a + b)/2, \quad (12)$$

у (2) имеются четыре состояния равновесия: для  $O_1$  и  $O_2$ , соответствующих интервалу  $-\pi/2 < \varepsilon^* < \pi/2$ , характеристические корни действительны и разных знаков, поэтому  $O_1$  и  $O_2$  – седловые точки. Для точек  $O_3$  и  $O_4$ , соответствующих интервалу  $\pi/2 < \varepsilon^* < 3\pi/2$ , корни при  $b > a$  ( $k_{y\phi 4} > 0$ ) действительны и отрицательны. Следовательно,  $O_3$  и  $O_4$  – устойчивые узлы. При  $k_4 < 0$  ( $b < a$ ) корни действительны и положительны, т.е.  $O_3$  и  $O_4$  – неустойчивые узлы.

7. При  $k = k_4$  система (2) имеет два состояния равновесия  $O_1$  и  $O_2$ , соответствующие значениям  $\varepsilon_1^* = \pi/4$  и  $\varepsilon_2^* = -3\pi/4$ , являющиеся сложными изолированными состояниями равновесия.

### 3 Предельные циклы динамической системы

Для определения условий существования предельных циклов, охватывающих фазовый цилиндр, в случае системы (2) сформулированы и доказаны две теоремы.

**ТЕОРЕМА 1.** Система (2) при  $k \neq 0$  не имеет замкнутых траекторий, охватывающих состояния равновесия, и может иметь не более одного предельного цикла, охватывающего фазовый цилиндр. Предельный цикл, если он существует, не может пересекать линию  $\Omega_{op} = 0$  и целиком лежит в области  $\Omega_{op} < 0$  или  $\Omega_{op} > 0$  в зависимости от значений параметров  $a$  и  $k$ .

Для доказательства первой части теоремы воспользуемся критерием Бендиксона [9-11]. Запишем выражение этого критерия применительно к (2):

$$\sigma = -2k. \quad (13)$$

Анализ (13) показывает, что на всей фазовой поверхности величина  $\sigma$  знакопостоянна. Поэтому, согласно критерию Бендиксона, система (2) при  $k \neq 0$  не имеет на фазовом цилиндре замкнутых траекторий, охватывающих состояния равновесия, и может иметь не более одного предельного цикла, охватывающего цилиндр. Этот предельный цикл, если он существует, устойчив при  $k > 0$  и неустойчив при  $k < 0$ .

Докажем, что предельный цикл (2) не может пересекать линию  $\Omega_{op} = 0$  и целиком лежит в области  $\Omega_{op} < 0$  или  $\Omega_{op} > 0$ . Для этого запишем выражение для производной

$$\frac{d\Omega_{op}}{d\varepsilon} = \frac{a + b \sin 2\varepsilon - 2k(1 + c\Omega_{op})}{c\Omega_{op}} \quad (14)$$



и предположим, что существует замкнутая траектория, пересекающая линию  $\Omega_{ор} = 0$ . Тогда из рис. 1 видно, что пересечение должно иметь место по крайней мере в двух точках и траектория в этом случае не может охватывать цилиндр, так как при переходе через линию  $\Omega_{ор} = 0$  производная  $d\Omega_{ор}/d\varepsilon$  меняет знак ( $c > 0$  всегда). Поэтому существует такой интервал  $\varepsilon_1 < \varepsilon < \varepsilon_2$ , через который не проходит рассматриваемая замкнутая траектория. Следовательно, замкнутые фазовые траектории, охватывающие фазовый цилиндр, могут лежать только целиком в области  $\Omega_{ор} < 0$ , либо в области  $\Omega_{ор} > 0$ .

Покажем, что область, в которой может находиться предельный цикл, охватывающий цилиндр, зависит от значений параметров  $a$  и  $k$ . Для этого запишем уравнение (2) в несколько ином виде:

$$\frac{c}{2} \frac{d\Omega_{ор}^2}{d\varepsilon} = a + b \sin 2\varepsilon - 2k(1 + c\Omega_{ор}). \quad (15)$$

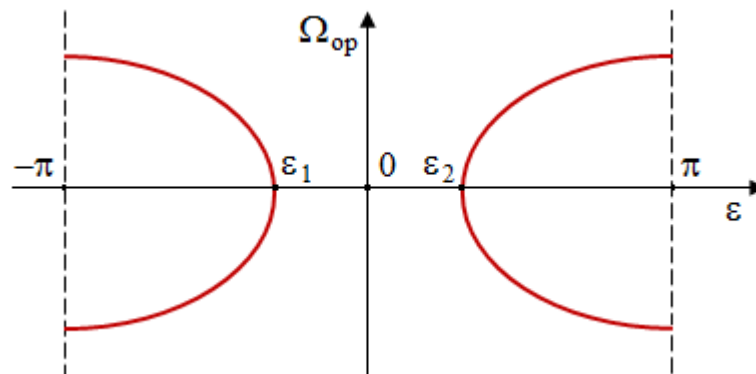


Рис. 1 – Замкнутая фазовая траектория

Предположим, что существует предельный цикл, охватывающий цилиндр. Проинтегрируем уравнение (15) по этой замкнутой траектории  $\Omega_{ор}^{\Pi} = \Omega_{ор}^{\Pi}(\varepsilon)$  в пределах от  $\varepsilon_0$  до  $\varepsilon_0 + 2\pi$ , после некоторых преобразований получим:

$$a - 2k \left( 1 + \frac{c}{2\pi} \int_{\varepsilon_0}^{\varepsilon_0 + 2\pi} \Omega_{\text{ор}}^{\Pi} d\varepsilon \right) = 0. \quad (16)$$

Для предельного цикла, охватывающего цилиндр, выполнение равенства (16) возможно только при следующих условиях:

- 1) для  $a = 0$  и  $k \neq 0$  предельный цикл  $\Omega_{\text{ор}}^{\Pi} < 0$ ;
- 2) при  $a < 0$  и  $k > 0$  или при  $a > 0$  и  $k < 0$  предельный цикл  $\Omega_{\text{ор}}^{\Pi} < 0$ ;
- 3) при  $a < 0$  и  $k < 0$  или при  $a > 0$  и  $k > 0$  предельный цикл может быть  $\Omega_{\text{ор}}^{\Pi} < 0$  или  $\Omega_{\text{ор}}^{\Pi} > 0$ .

Следовательно, если предельный цикл, охватывающий цилиндр, существует, то он лежит целиком в области  $\Omega_{\text{ор}} < 0$  при  $a = 0$  и  $k \neq 0$ ,  $a < 0$  и  $k > 0$ ,  $a > 0$  и  $k < 0$ . В случае  $a < 0$  и  $k < 0$  или  $a > 0$  и  $k > 0$  предельный цикл может целиком лежать в области  $\Omega_{\text{ор}} < 0$ , либо в области  $\Omega_{\text{ор}} > 0$ . Таким образом, теорема доказана.

Основное содержание теоремы 1 состоит в определении области значений  $a$ ,  $k$  и  $\Omega_{\text{ор}}$ , соответствующих предельному циклу рассматриваемой системы, при условии, что цикл существует. Теперь перейдем к изучению самих условий существования предельных циклов, охватывающих фазовый цилиндр.

**ТЕОРЕМА 2.** Система (2) имеет предельный цикл, охватывающий фазовый цилиндр, в том и только в том случае, когда:

- 1)  $a < 0$  (рис. 2):  
при  $k \in ]-\infty, k_2 [ \cup ]0, \infty [$  в области  $\Omega_{\text{ор}} < 0$ , при  $k \in ]k_3, 0 [$  в области  $\Omega_{\text{ор}} > 0$ ;
- 2)  $a = 0$  при  $k \in ]-\infty, k_2 [ \cup ]k_3, \infty [$  в области  $\Omega_{\text{ор}} < 0$ ;

3)  $a > 0$ :

при  $k \in ]-\infty, 0[ \cup ]k_3, \infty[$  в области  $\Omega_{op} < 0$ , при  $k \in ]0, k_2[$  в области  $\Omega_{op} > 0$ ;

где величины  $k_2 \neq 0$  и  $k_3 \neq 0$  соответствуют бифуркационным значениям параметра  $k$ , при котором система (2) имеет предельный континуум, охватывающий цилиндр и состоящий из двух седловых точек и двух сепаратрис, идущих из седла в седло.

Доказательство теоремы проведем в три этапа. Сначала докажем существование предельного цикла, охватывающего фазовый цилиндр, для  $|a| \leq b$  при  $k \in ]-\infty, k_1[ \cup ]k_4, \infty[$  и для  $|a| > b$ :  $a < -b$  при  $k \in ]-\infty, k_1[ \cup ]0, \infty[$  и  $a > b$  при  $k \in ]-\infty, 0[ \cup ]k_4, \infty[$  в области  $\Omega_{op} < 0$  (рис. 2). На втором этапе для  $a < 0$  при  $k \in [k_1, k_2[$ , для  $a = 0$  при  $k \in [k_1, k_2[ \cup ]k_3, k_4]$ ,  $a > 0$  при  $k \in ]k_3, k_4]$  в области  $\Omega_{op} < 0$ . На третьем этапе для  $a < 0$  при  $k \in ]k_3, 0[$  и для  $a > 0$  при  $k \in ]0, k_2[$  в области  $\Omega_{op} > 0$  (рис. 2).

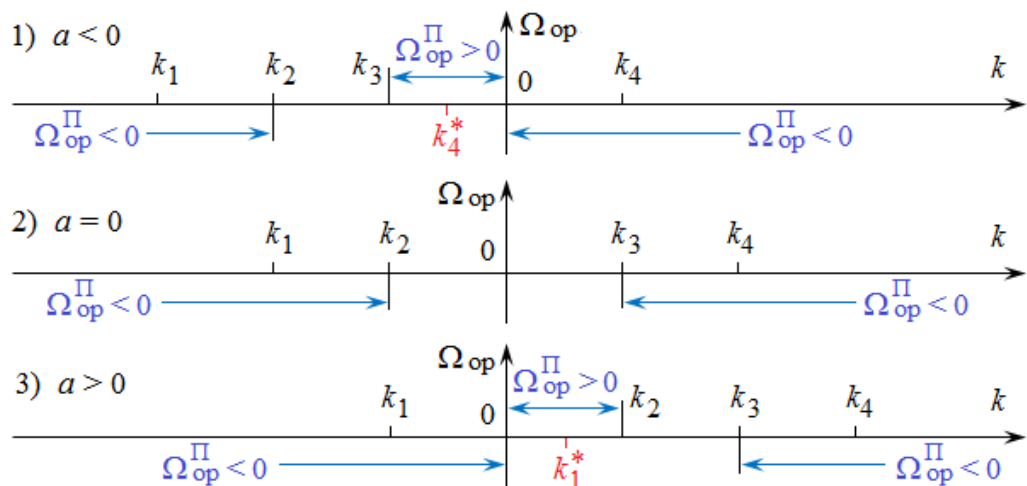


Рис. 2 – Области существования предельных циклов в зависимости от параметров  $k$  и  $a$

Первый этап. Ранее было установлено (12), что  $k_4$  в случае  $a < -b$  принимает

отрицательное значение  $k_4^*$  (рис. 2,  $a < 0$ ), а  $k_1$  (7) в случае  $a > b$  принимает положительное значение  $k_1^*$  (рис. 2,  $a > 0$ ). Тогда для доказательства наличия предельного цикла в области  $\Omega_{\text{op}} < 0$  для  $|a| \leq b$  при  $k \in ]-\infty, k_1 [ \cup ] k_4, \infty [$ , для  $a < -b$  при  $k \in ]-\infty, k_1 [ \cup ] 0, \infty [$  и для  $a > b$  при  $k \in ]-\infty, 0 [ \cup ] k_4, \infty [$  воспользуемся следующим очевидным утверждением. Если существуют два таких частных решения  $\Omega_{\text{op1}}(\varepsilon)$  и  $\Omega_{\text{op2}}(\varepsilon)$ , что при любом  $\varepsilon_0$  выполняются неравенства:

$$\Omega_{\text{op1}}(\varepsilon_0 + 2\pi) \leq \Omega_{\text{op1}}(\varepsilon_0), \quad (17)$$

$$\Omega_{\text{op2}}(\varepsilon_0 + 2\pi) \geq \Omega_{\text{op2}}(\varepsilon_0) \quad (18)$$

и если между интегральными кривыми, соответствующими этим решениям, состояния равновесия отсутствуют, то в силу непрерывной зависимости решений от начальных условий можно утверждать, что между  $\Omega_{\text{op1}}(\varepsilon)$  и  $\Omega_{\text{op2}}(\varepsilon)$  существует периодическое решение, для которого  $\Omega_{\text{op}}^{\text{II}}(\varepsilon_0 + 2\pi) = \Omega_{\text{op}}^{\text{II}}(\varepsilon_0)$ , т.е. имеется предельный цикл, охватывающий цилиндр. Отыщем частные решения  $\Omega_{\text{op1}}(\varepsilon)$  и  $\Omega_{\text{op2}}(\varepsilon)$  удовлетворяющие условиям (17) и (18).

Построим изоклину горизонтальных наклонов, определяемую выражением

$$\Omega_{\text{op}}^{\Gamma} = \left( \frac{a + b \sin 2\varepsilon}{2k} - 1 \right) / c, \quad (19)$$

для  $k > (a + b) / 2 > 0$  (рис. 3). Максимумы этой кривой  $(\Omega_{\text{op}}^{\Gamma})_{\text{max}}$  имеют место при  $\varepsilon = -3\pi/4$  и  $\varepsilon = \pi/4$ , а минимумы  $(\Omega_{\text{op}}^{\Gamma})_{\text{min}}$  – при  $\varepsilon = -\pi/4$  и  $\varepsilon = 3\pi/4$ :

$$(\Omega_{\text{op}}^{\Gamma})_{\text{max}} = \left( \frac{a + b}{2k} - 1 \right) / c, \quad (\Omega_{\text{op}}^{\Gamma})_{\text{min}} = \left( \frac{a - b}{2k} - 1 \right) / c \quad (20)$$

Первое частное решение  $\Omega_{ор1}(\varepsilon)$  возьмем такое, для которого при некотором  $\varepsilon_0$  выполняется  $\Omega_{ор1}(\varepsilon) < \left(\frac{a-b}{2k} - 1\right)/c$ . Видно, что это будет как раз искомым решением, так как ниже изоклины горизонтальных наклонов всегда  $d\Omega_{ор}/d\varepsilon < 0$  (рис. 3) и, следовательно,  $\Omega_{ор1}(\varepsilon_0) > \Omega_{ор1}(\varepsilon_0 + 2\pi)$ , что удовлетворяет условию (17). Для отыскания второго частного решения, удовлетворяющего условию (18), рассмотрим интегральную кривую, проходящую через точку  $H$  (рис. 3) с координатами  $\varepsilon = 5\pi/4$  и  $\Omega_{ор} = \left(\frac{a+b}{2k} - 1\right)/c$ , в которой изоклина горизонтальных наклонов имеет максимум.

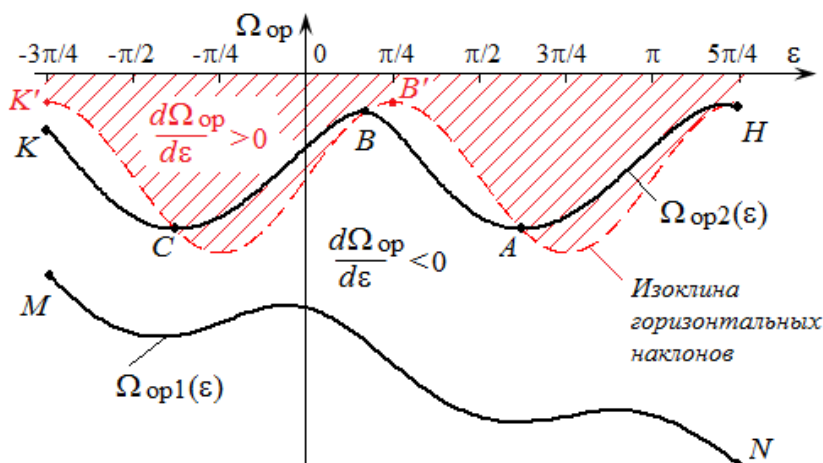


Рис. 3 – Изоклина горизонтальных наклонов и фазовые траектории

Так как между изоклиной и осью  $\varepsilon$  значение  $d\Omega_{ор}/d\varepsilon > 0$ , то интегральная кривая с уменьшением  $\varepsilon$  должна идти вниз и в некоторой точке  $A$  пересечет изоклину. В этой точке интегральная кривая имеет горизонтальную касательную. Затем интегральная кривая идет вверх и пересекает изоклину в точке  $B$ , которая лежит не выше точки  $B'$ . Продолжая подобные рассуждения относительно поведения рассматриваемой интегральной кривой, можно установить, что при

уменьшении угла  $\varepsilon$  на  $2\pi$  кривая обязательно придет в некоторую точку  $K$ , лежащую не выше точки  $K'$  с координатами  $\varepsilon = -3\pi/4$ ,  $\Omega_{\text{op}} = \left(\frac{a+b}{2k} - 1\right)/c$ .

Следовательно, данная интегральная кривая соответствует решению, для которого  $\Omega_{\text{op}2}(-3\pi/4 + 2\pi) \leq \Omega_{\text{op}2}(-3\pi/4)$ , т.е. удовлетворяет условию (18). Так как при  $k > (a+b)/2 > 0$  особых точек нет, то между двумя решениями  $\Omega_{\text{op}1}(\varepsilon)$  и  $\Omega_{\text{op}2}(\varepsilon)$  в силу непрерывности должно существовать периодическое решение, для которого  $\Omega_{\text{op}}^{\text{II}}(\varepsilon + 2\pi) = \Omega_{\text{op}}^{\text{II}}(\varepsilon)$ . Ранее было показано, что предельный цикл, соответствующий этому периодическому решению, является единственным и устойчивым с ординатами в интервале

$$\left(\frac{a-b}{2k} - 1\right)/c < \Omega_{\text{op}}^{\text{II}}(\varepsilon) < \left(\frac{a+b}{2k} - 1\right)/c. \quad (21)$$

Путем аналогичных рассуждений можно доказать существование единственного неустойчивого предельного цикла, охватывающего цилиндр, при  $k < (a-b)/2 < 0$ . Ординаты этого цикла находятся в интервале

$$\left(\frac{a+b}{2k} - 1\right)/c < \Omega_{\text{op}}^{\text{II}}(\varepsilon) < \left(\frac{a-b}{2k} - 1\right)/c. \quad (22)$$

Таким образом, у системы (2) для  $|a| \leq b$  при  $k \in ]-\infty, k_1[ \cup ]k_4, \infty[$ , для  $a < -b$  при  $k \in ]-\infty, k_1[ \cup ]0, \infty[$  и для  $a > b$  при  $k \in ]-\infty, 0[ \cup ]k_4, \infty[$  существует единственный предельный цикл в области  $\Omega_{\text{op}} < 0$ , положение которого на фазовом цилиндре определяется неравенствами (21) и (22). Из (22) и (23) следует, что с увеличением модуля параметра  $k$  существования предельного цикла сужается и при

$|k| \rightarrow \infty$  ордината его  $\Omega_{op} \rightarrow -1$ , т.е. предельный цикл асимптотически приближается к окружности, получаемой в результате сечения фазового цилиндра плоскостью, соответствующей значению  $\Omega_{op} = -1$ .

Приведенное доказательство устанавливает только достаточные условия существования предельного цикла, охватывающего цилиндр. В целях определения необходимых и достаточных условий существования предельного цикла перейдем ко второму и третьему этапу доказательства.

Второй этап. Рассмотрим условия существования предельного цикла, охватывающего цилиндр, для  $a \geq 0$  при  $k_4 \geq k > 0$  в области  $\Omega_{op} < 0$ . Для этого воспользуемся понятием функции последования [9]. Построим функцию последования точечного преобразования нижней половины образующей фазового цилиндра  $\varepsilon = \varepsilon_1^*$ , проходящей через седло  $O_1$ , самой в себя. На развертке фазового цилиндра это преобразование будет преобразованием полупрямой  $\bar{\Omega}_{op}$ :  $\varepsilon = \varepsilon_1^* - 2\pi$ ,  $\Omega_{op} \leq 0$  в полупрямую  $\bar{\Omega}'_{op}$ :  $\varepsilon = \varepsilon_1^*$ ,  $\Omega_{op} \leq 0$  (рис. 4). Через  $\omega_{op}$  и  $\omega'_{op}$  обозначим ординаты точек образующей и их последующие ( $\omega_{op}, \omega'_{op} > 0$ ). Ранее было показано, что предельный цикл может лежать целиком в области  $\Omega_{op} < 0$  при  $a = 0$ . А при  $a > 0$  предельный цикл может целиком лежать в области  $\Omega_{op} < 0$ , либо в области  $\Omega_{op} > 0$ . Следовательно, необходимым и достаточным условием его существования в области  $\Omega_{op} < 0$  является наличие неподвижной точки  $\omega_{op}^*$  рассматриваемого точечного преобразования полупрямой  $\varepsilon = \varepsilon_1^*$ ,  $\Omega_{op} < 0$  самой в себя, осуществляемого

фазовыми траекториями системы (2).

Доказательство начнем с того, что установим существование траекторий  $\Omega_{op1}(\varepsilon)$ , охватывающих цилиндр и удовлетворяющих условию  $\Omega_{op1}(\varepsilon_1^* - 2\pi) > \Omega_{op1}(\varepsilon_1^*)$ . Действительно, при  $k > 0$  для  $a = 0$  и при  $k > k_2$  для  $a > 0$  (случай  $k_2 > k > 0$  для  $a > 0$  будет рассмотрен на третьем этапе доказательства) все траектории, лежащие ниже изоклины горизонтальных наклонов (эти изоклины изображены пунктирными линиями на рис. 4), будут удовлетворять указанному свойству в области  $\Omega_{op} < 0$ . Для них  $\omega'_{op} > \omega_{op}$ , т.е. график интересующей нас функции последования  $\omega'_{op} = f(\omega_{op})$  всегда при достаточно больших  $\omega_{op}$  лежит над биссектрисой  $\omega'_{op} = \omega_{op}$  (рис. 5 а).

Теперь рассмотрим качественную картину поведения и деформации сепаратрис системы (2) при увеличении параметра  $k$ . При этом нас будут интересовать только сепаратрисы, лежащие в области  $\Omega_{op} < 0$ .



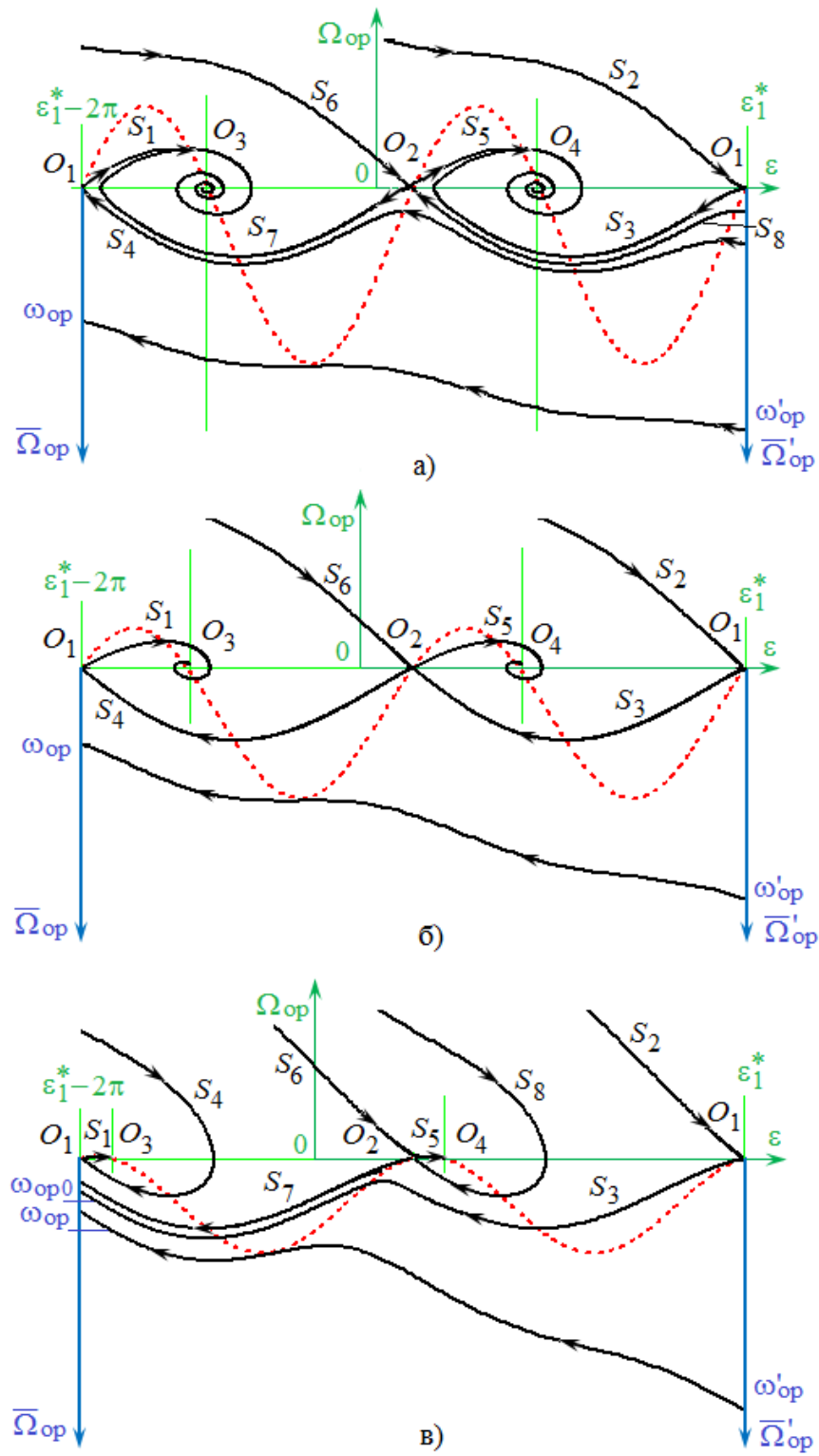


Рис. 4 – Сепаратрисы и точное преобразование полупрямой  $\varepsilon = \varepsilon_1^*$ ,  $\Omega_{оп} < 0$  самой в себя для  $a = 0$  при  $0 < k < k_3$  и для  $a > 0$  при  $k_2 < k < k_3$  (а), при  $k = k_3$  (б), при  $k_3 < k < k_4$  (в)

Для консервативной системы, когда  $k = 0$  и  $a = 0$ , все сепаратрисы идут из

седла в седло (рис. б). В результате рассмотрения (14) можно установить, что векторное поле системы (2) при увеличении  $k$  поворачивается по часовой стрелке в области фазовой плоскости, определяемой неравенствами  $\Omega_{op} < -1/c$ ,  $\Omega_{op} > 0$ , и против часовой стрелки в области  $-1/c < \Omega_{op} < 0$ . Поэтому при переходе системы от  $k=0$  к  $k>0$  каждая из сепаратрис разделяется на две (рис. 4 а). Увеличение параметра  $a$  приводит к дополнительному повороту векторного поля нижней половины фазовой плоскости по часовой стрелке. Вследствие разного характера поворота векторного поля в областях  $\Omega_{op} < -1/c$  и  $-1/c < \Omega_{op} < 0$ , независимости направления векторного поля системы от параметра  $k$  при  $\Omega_{op} = -1/c$  и смещения седловых точек с увеличением параметра  $k$  расстояние между сепаратрисами  $S_4, S_7$  ( $S_3, S_8$ ) сначала увеличивается, а затем уменьшается для  $a \geq 0$ . При некотором бифуркационном значении  $k = k_3$ , рассматриваемые пары сепаратрис опять сливаются, в результате чего образуется предельный континуум, охватывающий фазовый цилиндр (рис. 4 б). Дальнейшее увеличение параметра  $k$  приводит к повторному расчленению сепаратрис  $S_3$  и  $S_4$  на две. Но при этом сепаратриса  $S_4$  ( $S_8$ ) уже находится над сепаратрисой  $S_7$  ( $S_3$ ) и пересекает ось  $\varepsilon$ .

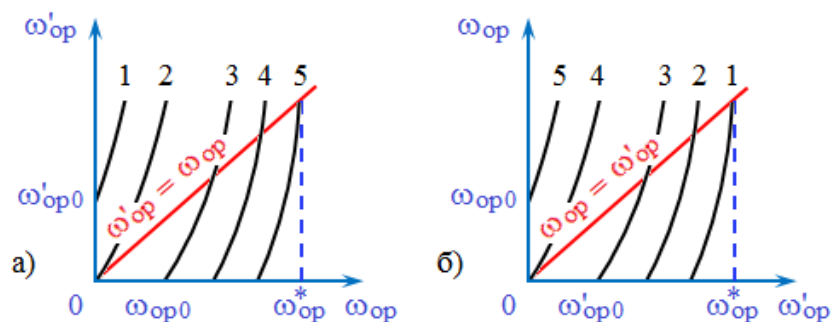


Рис. 5 – Функция последования при  $k_3 < k < k_4$  (а), при  $0 < k < k_2$  (б)

Дальнейшее увеличение  $k$  до бифуркационного значения  $k = k_4$  приводит к слиянию седла  $O_1$  с узлом  $O_3$ , а также седла  $O_2$  с узлом  $O_4$  с образованием двух сложных состояний равновесия типа седло-узел. Качественная картина поведения сепаратрис  $S_1, S_2, S_3, S_4, S_6, S_7, S_8$  остается такой как на рис. 4 в.

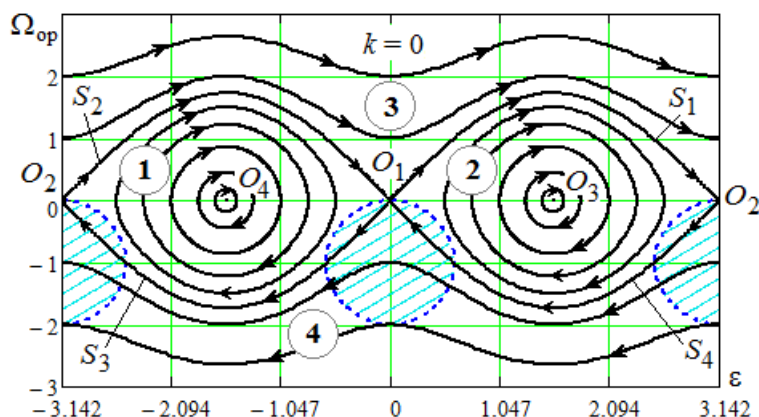


Рис. 6 – Качественная структура системы при  $k = 0$  и  $a = 0$

Поэтому для  $k_4 \geq k > 0$  при  $a \geq 0$  будем рассматривать два случая, соответствующие диапазонам  $k_3 > k > 0$  и  $k_4 \geq k > k_3$ . Проанализируем при  $k_3 > k > 0$  ход сепаратрисы  $S_4$ , входящей в седло  $O_1$  с отрицательным угловым коэффициентом (рис. 4 а). Сепаратриса  $S_4$  идет в нижней половине фазового цилиндра и ее начальная точка  $\omega_{op0} = 0$  имеет последующую  $\omega'_{op0} > 0$ . Так как под сепаратрисой  $S_4$  особые точки системы (2) отсутствуют, все траектории, пересекающие полупрямую  $\bar{\Omega}_{op}$ , будут охватывать фазовый цилиндр и соответственно все точки  $\omega_{op} > 0$  этой полупрямой будут иметь последующие точки  $\omega'_{op}$  ( $\omega'_{op} > \omega'_{op0} > 0$ ), т.е. при  $k_3 > k > 0$  функция последования  $\omega'_{op} = f(\omega_{op})$  существует для всех  $\omega_{op0} \geq 0$ , причем  $f(0) = \omega'_{op0} > 0$ .

Для траекторий, лежащих ниже изоклины горизонтальных наклонов  $\omega'_{op} > \omega_{op}$ ,

можно полагать, что график функции последования (он является непрерывной кривой при  $\omega_{op} > \omega_{op0} > 0$ ) будет проходить через точку  $(0, \omega'_{op0})$  (кривая 1, рис. 5 а), и или не будет пересекать эту биссектрису или будет пересекать ее в четном числе неподвижных точек. Однако последнее невозможно, так как ранее было установлено, что система (2) не может иметь более одного предельного цикла, а следовательно, и функция последования не может иметь более одной неподвижной точки. Поэтому при  $k_3 > k > 0$  функция последования не имеет неподвижных точек, а система (2) – предельного цикла в области  $\Omega_{op} < 0$ .

Перейдем к рассмотрению случая  $k_4 \geq k > k_3$  для  $a \geq 0$ . В указанном диапазоне значений параметра  $k$  сепаратриса  $S_4$  не выходит на образующую цилиндра  $\varepsilon = \varepsilon_1^*$  и точка  $\omega_{op0} = 0$  не имеет последующей (рис. 4 в). Поэтому проанализируем ход сепаратрисы  $S_3$ , выходящей из седла  $O_1$ . Для этой сепаратрисы точка  $\omega_{op} = \omega_{op} > 0$  будет иметь последующую точку  $\omega'_{op0} = 0$ . Все траектории, пересекающие полупрямую  $\bar{\Omega}_{op}$  и лежащие ниже сепаратрисы  $S_3$ , будут охватывать фазовый цилиндр, и соответственно все точки  $\omega_{op} > \omega_{op0} > 0$  будут иметь последующие точки  $\omega'_{op}$  ( $\omega'_{op} > \omega_{op0} > 0$ ). Для сепаратрисы  $S_3$  имеем  $\omega'_{op0} < \omega_{op0}$ , а для траекторий, расположенных ниже изоклины горизонтальных наклонов,  $\omega'_{op} > \omega_{op}$ . Поэтому в силу непрерывности функции последования график ее при условии  $k_4 > k > k_3$  обязательно будет пересекать биссектрису  $\omega'_{op} = \omega_{op}$ . На рис. 5а кривыми 3, 4, 5 показаны графики функции последования при трех различных, последовательно возрастающих значениях параметра  $k$ . Точки пересечения этих функций с

биссектрисой  $\omega'_{op} = \omega_{op}$  и будут неподвижными точками  $\omega_{op}^*$  рассматриваемого точечного преобразования. Для каждого значения  $k$  в диапазоне  $k_4 \geq k > k_3$  существует только одна неподвижная точка. Координата неподвижной точки  $\omega_{op}^* \rightarrow 0$  при  $k \rightarrow k_3$ . Следовательно, при  $k_4 \geq k > k_3$  имеет место предельный цикл, охватывающий фазовый цилиндр. Существование предельного цикла при  $k > k_4$  уже было доказано. Таким образом, система (2) при  $k > k_3$  имеет предельный цикл, охватывающий фазовый цилиндр. При  $k \rightarrow k_3$  предельный цикл асимптотически приближается к предельному континууму ( $k = k_3$ ), который состоит из двух седел и двух сепаратрис, идущих из седла в седло в нижней половине фазового цилиндра.

При рассмотрении условия существования предельного цикла, охватывающего цилиндр, для  $a \leq 0$  при  $k_1 \leq k < 0$  в области  $\Omega_{op} < 0$  следуя аналогичным рассуждениям, приведенным на данном втором этапе доказательства теоремы, можно доказать существование предельного цикла для  $a \leq 0$  и  $k_1 \geq k > k_2$  в области  $\Omega_{op} < 0$ . Т.е. система (2) при  $k < k_2$  имеет предельный цикл, охватывающий фазовый цилиндр. При  $k \rightarrow k_2$  предельный цикл асимптотически приближается к предельному континууму ( $k = k_2$ ), который состоит из двух седел и двух сепаратрис, идущих из седла в седло в нижней половине фазового цилиндра.

Третий этап. Рассмотрим условия существования предельного цикла, охватывающего цилиндр, для  $a > 0$  при  $k > 0$  в области  $\Omega_{op} > 0$ . Построим функцию последования точечного преобразования нижней половины образующей фазового цилиндра  $\varepsilon = \varepsilon_1^*$ , проходящей через седло  $O_1$ , самой в себя. На развертке фазового

цилиндра это преобразование будет преобразованием полупрямой  $\bar{\Omega}_{op}: \varepsilon = \varepsilon_1^* - 2\pi$ ,  $\Omega_{op} \geq 0$  в полупрямую  $\bar{\Omega}'_{op}: \varepsilon = \varepsilon_1^*$ ,  $\Omega_{op} \geq 0$  (рис. 7). Через  $\omega_{op}$  и  $\omega'_{op}$  обозначим ординаты точек образующей и их последующие ( $\omega_{op}, \omega'_{op} > 0$ ). Ранее было показано, что при  $a > 0$  предельный цикл может целиком лежать в области  $\Omega_{op} < 0$ , либо в области  $\Omega_{op} > 0$ . Следовательно, необходимым и достаточным условием его существования в области  $\Omega_{op} > 0$  является наличие неподвижной точки  $\omega_{op}^*$  рассматриваемого точечного преобразования полупрямой  $\varepsilon = \varepsilon_1^*$ ,  $\Omega_{op} > 0$  самой в себя, осуществляемого фазовыми траекториями системы (2).

Доказательство начнем с того, что установим существование траекторий  $\Omega_{op1}(\varepsilon)$ , охватывающих цилиндр и удовлетворяющих условию  $\Omega_{op1}(\varepsilon_1^* - 2\pi) > \Omega_{op1}(\varepsilon_1^*)$ . Действительно, при  $0 < k < k_2$  для  $a > 0$  все траектории, лежащие выше изоклины горизонтальных наклонов (эти изоклины изображены пунктирными линиями на рис. 7), будут удовлетворять указанному свойству в области  $\Omega_{op} > 0$ . Для них  $\omega_{op} > \omega'_{op}$ , т.е. график интересующей нас функции последования  $\omega'_{op} = f(\omega_{op})$  всегда при достаточно больших  $\omega_{op}$  лежит над биссектрисой  $\omega_{op} = \omega'_{op}$  (рис. 5 б).

Теперь рассмотрим качественную картину поведения и деформации сепаратрис системы (2) при увеличении параметра  $k$ . При этом нас будут интересовать только сепаратрисы, лежащие в области  $\Omega_{op} > 0$ . Для консервативной системы, когда  $k = 0$  и  $a = 0$ , все сепаратрисы идут из седла в седло (рис. 6). В

результате рассмотрения (14) можно установить, что векторное поле системы (2) при увеличении  $k$  поворачивается по часовой стрелке в области фазовой плоскости  $\Omega_{op} > 0$ . Поэтому при переходе системы от  $k = 0$  к  $k > 0$  каждая из сепаратрис разделяется на две (рис. 7 а).

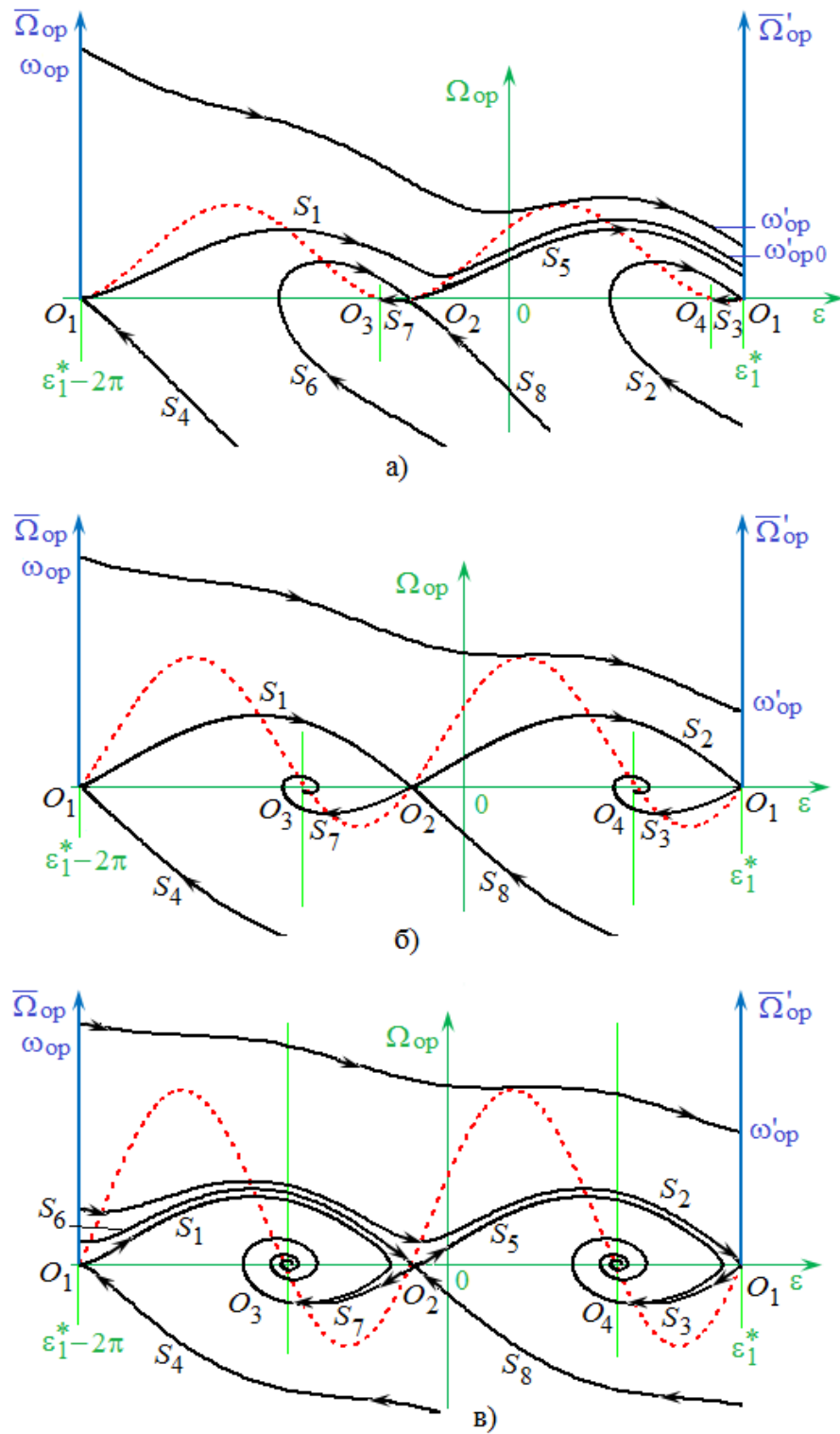


Рис. 7 – Сепаратрисы и точечное преобразование полупрямой  $\varepsilon = \varepsilon_1^*$ ,  $\Omega_{op} > 0$  самой в себя для  $a > 0$  при  $0 < k < k_2$  (а), при  $k = k_2$  (б), при  $k_2 < k < k_3$  (в)

При переходе системы от  $a = 0$  к  $a > 0$  происходит поворот векторного поля верхней половины фазовой плоскости против часовой стрелки. Вследствие разного



характера поворота векторного поля в области  $\Omega_{op} > 0$  в зависимости от соотношения величин параметров  $k$  и  $a$ , смещения седловых точек с увеличением параметра  $k$  расстояние между сепаратрисами  $S_1, S_6$  ( $S_2, S_5$ ) сначала увеличивается, а затем уменьшается. При некотором бифуркационном значении  $k = k_2$ , рассматриваемые пары сепаратрис опять сливаются, в результате чего образуется предельный континуум, охватывающий фазовый цилиндр (рис. 7 б). Дальнейшее увеличение параметра  $k$  до  $k_3$  приводит к повторному расчленению сепаратрис  $S_1$  и  $S_4$  на две. Но при этом сепаратриса  $S_1$  ( $S_5$ ) уже находится под сепаратрисой  $S_6$  ( $S_5$ ) и пересекает ось  $\varepsilon$  (рис. 7 в).

Проанализируем при  $k_2 > k > 0$  ход сепаратрисы  $S_1$ , выходящей из седла  $O_1$  с положительным угловым коэффициентом (рис. 7 а). Сепаратриса  $S_1$  идет в верхней половине фазового цилиндра и ее начальная точка  $\omega_{op0} = 0$  имеет последующую  $\omega'_{op0} > 0$ . Так как над сепаратрисой  $S_1$  особые точки системы (2) отсутствуют, все траектории, пересекающие полупрямую  $\bar{\Omega}'_{op}$ , будут охватывать фазовый цилиндр и соответственно все точки  $\omega_{op} > 0$  этой полупрямой будут иметь последующие точки  $\omega'_{op}$  ( $\omega'_{op} > \omega'_{op0} > 0$ ), т.е. при  $k_2 > k > 0$  функция последования  $\omega'_{op} = f(\omega_{op})$  существует для всех  $\omega_{op0} \geq 0$ , причем  $f(0) = \omega'_{op0} > 0$ .

Для траекторий расположенных ниже изоклины горизонтальных наклонов имеем  $\omega_{op} > \omega'_{op}$ , а для траекторий, расположенных выше изоклины горизонтальных наклонов,  $\omega_{op} < \omega'_{op}$ . Поэтому в силу непрерывности функции последования график

ее при условии  $k_2 > k > 0$  обязательно будет пересекать биссектрису  $\omega'_{ор} = \omega_{ор}$ . На рис. 5б кривыми 3, 2, 1 показаны графики функции последования при трех различных, последовательно убывающих значениях параметра  $k$ . Точки пересечения этих функций с биссектрисой  $\omega'_{ор} = \omega_{ор}$  и будут неподвижными точками  $\omega_{ор}^*$  рассматриваемого точечного преобразования. Для каждого значения  $k$  в диапазоне  $0 < k < k_2$  существует только одна неподвижная точка. Координата неподвижной точки  $\omega_{ор}^* \rightarrow 0$  при  $k \rightarrow k_2$  (рис. 7 б). Следовательно, при  $0 < k < k_2$  имеет место предельный цикл, охватывающий фазовый цилиндр.

В случае  $k_2 < k < k_3$  для  $a > 0$  сепаратриса  $S_1$  не выходит на образующую цилиндра  $\varepsilon = \varepsilon_1^*$  и точка  $\omega_{ор0} = 0$  не имеет последующей (рис. 7 в), а все фазовые траектории системы (2) находящиеся ниже сепаратрисы  $S_1$  не могут образовывать предельного цикла в положительной области фазового цилиндра.

Фазовые траектории между сепаратрисами  $S_2$  и  $S_1$  (рис. 7 в) также не выходят на образующую цилиндра  $\varepsilon = \varepsilon_1^*$  в области  $\Omega_{ор} > 0$ , а значит, не могут образовывать предельного цикла.

Начальная точка сепаратрисы  $S_2$  выше ее последующей:  $\omega_{ор} > \omega'_{ор} = 0$ . Для траекторий расположенных ниже изоклины горизонтальных наклонов и выше сепаратрисы  $S_2$  имеем  $\omega_{ор} > \omega'_{ор}$ . Для траекторий, расположенных выше изоклины горизонтальных наклонов также  $\omega_{ор} > \omega'_{ор}$ . Поэтому в силу непрерывности функции последования график ее при условии  $k_2 < k < k_3$  не будет пересекать биссектрису

$\omega'_{op} = \omega_{op}$  (кривая 5 на рис. 5 б). Поэтому в диапазоне  $k_2 < k < k_3$  система (2) не имеет предельного цикла и в положительной области фазового цилиндра.

Ранее на втором этапе было установлено, что для  $a > 0$  при  $k \in ]k_4, \infty[$  система (2) имеет предельный цикл, охватывающий фазовый цилиндр в области  $\Omega_{op} < 0$ . В силу теоремы 1 система (2) может иметь не более одного предельного цикла, следовательно, система (2) для  $a > 0$  при  $k \in ]k_4, \infty[$  в области  $\Omega_{op} > 0$  предельного цикла не имеет.

Таким образом, система (2) для  $a > 0$  при  $k \in ]0, k_2[$  имеет предельный цикл, охватывающий фазовый цилиндр. При  $k \rightarrow k_2$  предельный цикл асимптотически приближается к предельному континууму ( $k = k_2$ ), который состоит из двух седел и двух сепаратрис, идущих из седла в седло в верхней половине фазового цилиндра. Согласно (16) при  $k \rightarrow 0$  ордината предельного цикла  $\Omega_{op} \rightarrow \infty$ .

При рассмотрении условия существования предельного цикла, охватывающего цилиндр, для  $a < 0$  при  $k < 0$  в области  $\Omega_{op} > 0$  следуя аналогичным рассуждениям, приведенным на третьем этапе доказательства теоремы, можно доказать существование предельного цикла для  $a < 0$  и  $k \in ]k_3, 0[$  в области  $\Omega_{op} > 0$ . Т.е. система (2) при  $k \in ]k_3, 0[$  имеет предельный цикл, охватывающий фазовый цилиндр. При  $k \rightarrow k_3$  предельный цикл асимптотически приближается к предельному континууму ( $k = k_3$ ), который состоит из двух седел и двух сепаратрис, идущих из седла в седло в нижней половине фазового цилиндра. При  $k \rightarrow 0$  ордината предельного цикла  $\Omega_{op} \rightarrow -\infty$ .

Следовательно, система (2) имеет предельный цикл, охватывающий фазовый цилиндр: для  $a < 0$ : при  $k \in ]-\infty, k_2 [ \cup ]0, \infty [$  в области  $\Omega_{op} < 0$ , при  $k \in ]k_3, 0 [$  в области  $\Omega_{op} > 0$ ; для  $a = 0$  при  $k \in ]-\infty, k_2 [ \cup ]k_3, \infty [$  в области  $\Omega_{op} < 0$ ; для  $a > 0$ : при  $k \in ]-\infty, 0 [ \cup ]k_3, \infty [$  в области  $\Omega_{op} < 0$ , при  $k \in ]0, k_2 [$  в области  $\Omega_{op} > 0$  (Рис.2.39). Для положительных  $k$  цикл устойчивый, для отрицательных – неустойчивый. Теорема доказана.

Перейдем к определению бифуркационных значений параметра  $k_2$  и  $k_3$ . Для этого воспользуемся методом математического моделирования с учетом установленной качественной картины поведения особых фазовых траекторий (сепаратрис) системы (2). Производя обратное интегрирование движения изображающей точки по сепаратрисе  $S_8$  при все возрастающих значениях  $k$ , можем определить то  $k = k_3$ , при котором сепаратриса будет идти из седла  $O_1$  в седло  $O_2$  (рис. 4). В результате моделирования установлено  $k_3$  (табл. 2). Точно таким же образом была определена величина  $k_2$  (табл. 1).

В случае на рис. 7 интегрирование движения изображающей точки производится по сепаратрисе  $S_6$  при убывающих значениях  $k$ , что позволяет определить  $k_2$  или  $k_3$ .

Табл. 1 – Значения параметра  $k_2$  для разных эксцентриситетов орбиты ТС и углов  $\vartheta$

$\vartheta$	$e$	0,00	0,10	0,20	0,30	0,50	0,75	0,80
0°	-0,532815	-0,451233	-0,196750	-0,000000	-0,000000	-0,000000	-0,000000	-0,000000
45°		0,037217	0,084513	0,148217	0,379764	1,494963	2,199614	
90°		0,048301	0,101283	0,164943	0,369796	1,258306	1,809096	
135°		0,031123	0,058996	0,086043	0,149376	0,336157	0,435177	
180°		-0,566704	-0,579689	-0,582560	-0,577350	-0,647939	-0,694444	
225°		-0,724792	-0,808313	-0,873225	-1,098333	-2,078010	-2,645469	
270°		-0,810130	-1,001329	-1,209559	-1,924501	-5,183513	-7,175926	
315°		-0,774536	-1,007272	-1,295123	-2,282619	-6,770800	-9,536803	

Табл. 2 – Значения параметра  $k_3$  для разных эксцентриситетов орбиты ТС и углов  $\vartheta$

$\vartheta$	$e$	0,00	0,10	0,20	0,30	0,50	0,75	0,80
0°	0,532815	0,451233	0,196750	0,000000	0,000000	0,000000	0,000000	0,000000
45°		0,774536	1,007272	1,295123	2,282619	6,770800	9,536803	
90°		0,810130	1,001329	1,209559	1,924501	5,183513	7,175926	
135°		0,724792	0,808313	0,873225	1,098333	2,078010	2,645469	
180°		0,566704	0,579689	0,582560	0,577350	0,647939	0,694444	
225°		-0,031123	-0,058996	-0,164943	-0,149376	-0,336157	-0,435177	
270°		-0,048301	-0,101283	-0,164943	-0,369796	-1,258306	-1,809096	
315°		-0,037217	-0,084513	-0,148217	-0,379764	-1,494963	-2,199614	

Значения параметров  $k_2$  и  $k_3$  позволяют оценить на основе (16) среднее значение относительной угловой скорости  $\Omega_{\text{cp}}^{\Pi}$  предельного континуума, охватывающего цилиндр:

$$\Omega_{\text{cp}}^{\Pi} = \left( \frac{a}{2k} - 1 \right) / c, \text{ или } \Omega_{\text{cp}}^{\Pi} = \frac{e \sin \vartheta (1 + e \cos \vartheta)^3}{k (1 - e^2)^3} - \frac{(1 + e \cos \vartheta)^2}{(1 - e^2)^{3/2}}. \quad (23)$$

Результаты расчетов  $\Omega_{\text{cp}}^{\Pi}$  для параметров  $k_2$  и  $k_3$  представлены в табл. 3 и 4.

Табл. 3 – Значения  $\Omega_{cp}^{\Pi}$  для параметра  $k_2$  при разных эксцентриситетах и углах  $\vartheta$

$\vartheta$	$e$	0,00	0,10	0,20	0,30	0,50	0,75	0,80
0°	-1,00		-1,23	-1,53	-1,95	-3,46	-10,58	-15,00
45°		1,24	1,43	1,69	2,65	7,09	9,81	
90°		1,12	1,17	1,26	1,67	3,66	4,85	
135°		1,00	0,93	0,88	0,87	1,19	1,41	
180°		-0,82	-0,68	-0,56	-0,38	-0,22	-0,19	
225°		-0,80	-0,66	-0,56	-0,44	-0,45	-0,50	
270°		-0,89	-0,84	-0,82	-0,92	-1,73	-2,24	
315°		-1,05	-1,15	-1,31	-1,91	-4,74	-6,47	

Табл. 4 – Значения  $\Omega_{cp}^{\Pi}$  для параметра  $k_3$  при разных эксцентриситетах и углах  $\vartheta$

$\vartheta$	$e$	0,00	0,10	0,20	0,30	0,50	0,75	0,80
0°	-1,00		-1,23	-1,53	-1,95	-3,46	-10,58	-15,00
45°		-1,05	-1,15	-1,31	-1,91	-4,74	-6,47	
90°		-0,89	-0,84	-0,82	-0,92	-1,73	-2,24	
135°		-0,80	-0,66	-0,56	-0,44	-0,45	-0,50	
180°		-0,82	-0,68	-0,56	-0,38	-0,22	-0,19	
225°		1,00	0,93	0,88	0,87	1,19	1,41	
270°		1,12	1,17	1,26	1,67	3,66	4,85	
315°		1,24	1,43	1,69	2,65	7,09	9,81	

Фазовые траектории соответствующей предельному континууму  $\Omega_{op}^{\Pi}$  имеют форму сепаратрис  $S_3$  и  $S_4$  (рис. 4 б) в области  $\Omega_{op} \leq 0$ , а в области  $\Omega_{op} \geq 0$  имеют форму сепаратрис  $S_1$  и  $S_2$  (рис. 7 б). Тогда область допустимых значений  $\Omega_{op}^{\Pi}$  можно оценить неравенством:

$$0 \leq \left| \Omega_{op}^{\Pi} \right| \leq \left| 2\Omega_{cp}^{\Pi} \right|. \quad (24)$$

Изучение состояний равновесия и условий существования предельных циклов системы сравнения (2) позволило установить, что (2) имеет следующие бифуркационные значения параметров  $k, a, b$ :

- 1) пять бифуркационных значений параметра  $k: 0, k_1, k_2, k_3, k_4$ ;
- 2) бифуркационные значения параметров  $a, b: a = 0, |a| = b$ .

Бифуркации системы (2) связаны с появлением и исчезновением состояний равновесия, предельных циклов (устойчивых и неустойчивых, в положительной и отрицательной областях фазового цилиндра). Следовательно, система (2) имеет 27 различных типов качественных структур фазовых траекторий: семь при  $k = 0$  для случаев  $a < -b, a = -b, -b < a < 0, a = 0, 0 < a < b, a = b, a > b$ ; и 20 при  $k \neq 0$ .

Все бифуркации рассматриваемой системы и соответственно все изменения возможных типов относительного движения связки зависят от текущего значения параметра  $k$ , который для любого метода управления изменением длины связи определяется следующей установленной зависимостью:

$$k = \frac{\dot{D}}{D} \sqrt{\frac{p^3}{\pi_0 (1 - e^2)^3}}. \quad (25)$$

### **Заключение:**

1. На основе математического аппарата качественной теории динамических систем сформулированы и доказаны условия существования предельных циклов у динамической системы управляемого движения связанных объектов на эллиптической орбите.

2. Определены бифуркационные значения параметра управления,

связанные с появлением и исчезновением предельных циклов у рассматриваемой динамической системы.

3. Установлен диапазон значений относительной угловой скорости  $\Omega_{\text{ср}}^{\text{П}}$  предельного континуума, охватывающего фазовый цилиндр.

4. Определено количество различных типов качественных структур фазовых траекторий управляемого движения связанных объектов в условиях функционирования на эллиптических орбитах без учета возмущающих факторов.

### **Библиографический список**

1. Даниленко А.В., Ёлкин К.А., Лягушина С.Ц. Проект программы поэтапного освоения перспективной космической технологии – орбитальных тросовых систем // Доклады Восьмого международного аэрокосмического конгресса IAC'15. Москва, 2015, С. 289-294.
2. Белецкий В.В., Левин Е.М. Динамика космических тросовых систем - М.: Наука, 1990. – 336 с.
3. Иванов В.А., Купреев С.А., Либерзон М.Р. Сближение в космосе с использованием тросовых систем: Монография. – М.: Хоружевский, 2010. – 360 с.
4. Иванов В.А., Купреев С.А., Ручинский В.С. Космические тросовые системы. – М.: Альфа-М, 2014. – 208 с.
5. Иванов В.А., Купреев С.А., Ручинский В.С. Орбитальное функционирование связанных космических объектов: Учебное пособие. – М.: ИНФРА-М, 2014. – 320 с.



6. Купреев С.А. Метод формирования оптимальных режимов управляемого движения тросовых систем при решении практических задач // Труды МАИ. 2015. №84: <http://www.mai.ru/science/trudy/published.php?ID=63053>
7. Воронцова В.Л. Об исследовании поведения предельных циклов в зависимости от роста аэродинамического параметра при движении орбитальной тросовой системы по эллиптической орбите // Вестник Московского авиационного института. 2015. Т. 22. № 4. С. 91-99.
8. Воронцова В.Л. Об анализе поведения предельных циклов при росте эксцентриситета орбиты и аэродинамического параметра // Вестник Московского авиационного института. 2013. Т. 20. № 1. С. 255-258.
9. Андронов А.А., Леонтович Е.А. Качественная теория динамических систем второго порядка.– М.: Наука, 1960. – 568 с.
10. Андронов А.А., Леонтович Е.А., Гордон И.М., Майер А.Г. Теория бифуркаций динамических систем на плоскости. – М.: Наука, 1967. – 488 с.
11. Андронов А.А., Витт А.А., Хайкин С.Э. Теория колебаний. – М.: Наука, 1981. – 918 с.